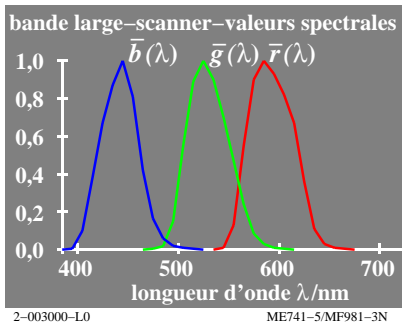
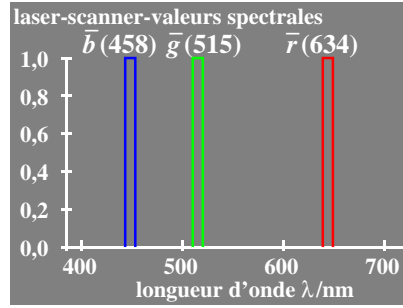
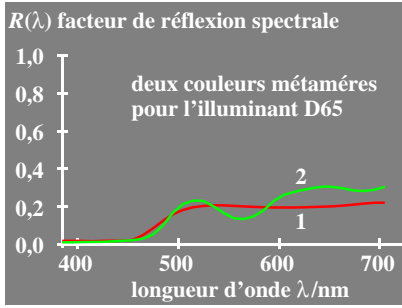
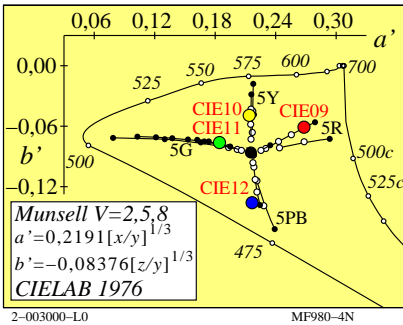
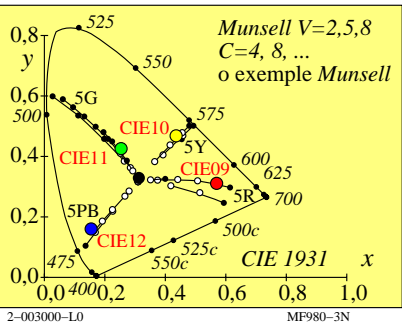


voir fichiers similaires: http://farbe.li.tu-berlin.de/MF98/MF98.HTM
 http://130.149.60.45/~farbmetrik ou http://farbe.li.tu-berlin.de

TUB enregistrement: 20190801-MF98/MF98LONA.TXT /.PS
 application pour la mesure de sortie sur écran
 TUB matériel: code=rh4ta

attributs de la colorimétrie inférieur et supérieur	mode de mélange de couleurs	
	dichromatique	trichromatique
colorimétrie inférieure	(pour $Y_- \geq B_-$)	(pur $R_- \geq G_- \geq B_-$)
valeur blanche W	B_-	B_-
valeur noire N	$100 - Y_-$	$100 - R_-$
valeur chromatique C	$Y_- - B_-$	$R_- - B_-$
colorimétrie supérieure	(pour $Y^*_- \geq B^*_-$)	(pour $R^*_- \geq G^*_- \geq B^*_-$)
blancheur W^*	B^*_-	B^*_-
noirceur N^*	$100 - Y^*_-$	$100 - R^*_-$
chroma C^*	$Y^*_- - B^*_-$	$R^*_- - B^*_-$



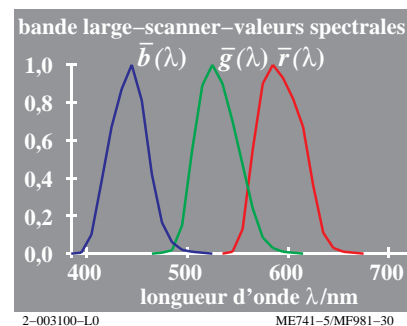
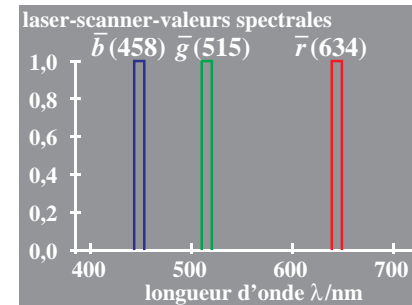
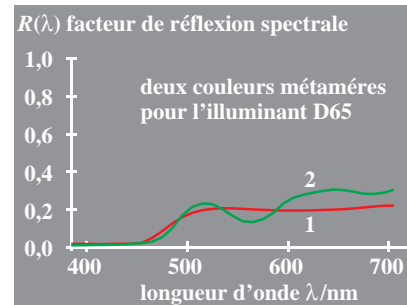
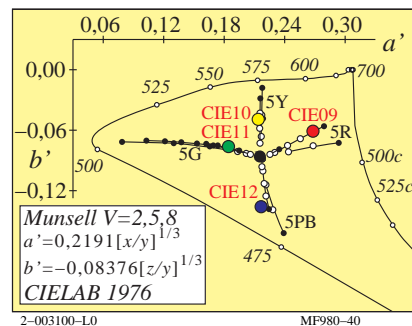
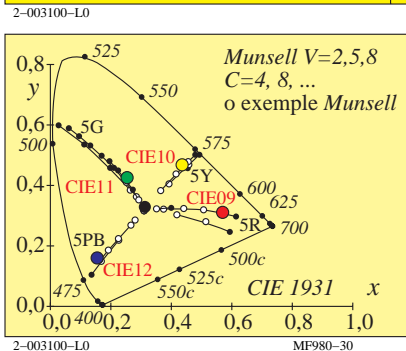
indice de fidélité de couleur R_i de deux couleur métamères pour scanner		
laser	TC indice de fidélité	différence de couleur
large bande	1	82
	2	84
laser	1	63
	2	69
idéal	1	100
	2	100

D65, adjustment pour papier blanc

colorimétrie inférieure: (données: relation linéaire à CIE 1931)		
term linéaire des couleurs	nom et rapport aux valeurs de tristimulus ou de chromaticité	remarques
valeurs de tristimulus	X, Y, Z	
val. chromatique	diagramme valeur chromatique linéaire (A,B)	n=D65
rouge-vert	$A = [X / Y - X_n / Y_n] Y = [a - a_n] Y$ $= [x / y - x_n / y_n] Y$	(fond)
jaune-bleu	$B = -0,4 [Z / Y - Z_n / Y_n] Y = [b - b_n] Y$ $= -0,4 [z / y - z_n / y_n] Y$	
radial	$C_{AB} = [A^2 + B^2]^{1/2}$	
chromaticité	diagramme chromaticité linéair (a, b)	comparer stimulation des cônes linéaires
rouge-vert	$a = X / Y = x / y$	
jaune-bleu	$b = -0,4 [Z / Y] = -0,4 [z / y]$	
radial	$c_{ab} = [(a - a_n)^2 + (b - b_n)^2]^{1/2}$	$L/(L+M) = P/(P+D)$ $S/(L+M) = T/(P+D)$

colorimétrie supérieure (données: relation non linéaire à CIE 1931)		
terme non linéaire	nom et rapport aux valeurs de tristimulus ou de chromaticité	remarque
clarté	$L^* = 116 (Y / 100)^{1/3} - 16 (Y > 0,8)$ approximation: $L^* = 100 (Y / 100)^{1/2,4} (Y > 0)$	CIE LAB 1976
chroma	transformation non linéaire des valeurs A, B	
rouge-vert	$a^* = 500 [(X / X_n)^{1/3} - (Y / Y_n)^{1/3}]$ $= 500 (a' - a'_n) Y^{1/3}$	CIE LAB 1976
jaune-bleu	$b^* = 200 [(Y / Y_n)^{1/3} - (Z / Z_n)^{1/3}]$ $= 500 (b' - b'_n) Y^{1/3}$	CIE LAB 1976
radial	$C^*_{ab} = [a^{*2} + b^{*2}]^{1/2}$	n=D65 (fond)
chromaticité	transformation non linéaire x/y, z/y	comparer log stimulation des cônes
rouge-vert	$a' = (1 / X_n)^{1/3} (x / y)^{1/3}$ $= 0,2191 (x / y)^{1/3}$ pour D65	$\log [L / (L+M)]$
jaune-bleu	$b' = -0,4 (1 / Z_n)^{1/3} (z / y)^{1/3}$ $= -0,08376 (z / y)^{1/3}$ pour D65	$= \log [P / (P+D)]$
radial	$c'_{ab} = [(a' - a'_n)^2 + (b' - b'_n)^2]^{1/2}$	$\log [S / (L+M)]$ $= \log [T / (P+D)]$

attributs de la colorimétrie inférieur et supérieur	mode de mélange de couleurs	
	dichromatique	trichromatique
colorimétrie inférieure	(pour $Y_d \geq B_d$)	(pur $R_d \geq G_d \geq B_d$)
valeur blanche W	B_d	B_d
valeur noire N	$100 - Y_d$	$100 - R_d$
valeur chromatique C	$Y_d - B_d$	$R_d - B_d$
colorimétrie supérieure	(pour $Y^*_d \geq B^*_d$)	(pour $R^*_d \geq G^*_d \geq B^*_d$)
blancheur W^*	B^*_d	B^*_d
noirceur N^*	$100 - Y^*_d$	$100 - R^*_d$
chroma C^*	$Y^*_d - B^*_d$	$R^*_d - B^*_d$



indice de fidélité de couleur R_i de deux couleur métamères pour scanner		
laser	TC indice de fidélité	différence de couleur
large bande	1	82
	2	84
laser	1	63
	2	69
idéal	1	100
	2	100

D65, adjustment pour papier blanc

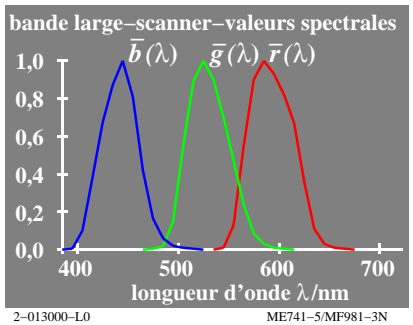
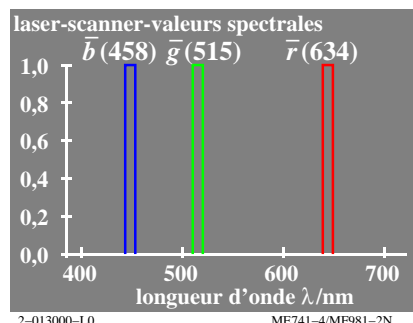
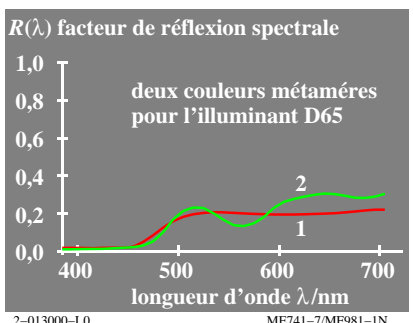
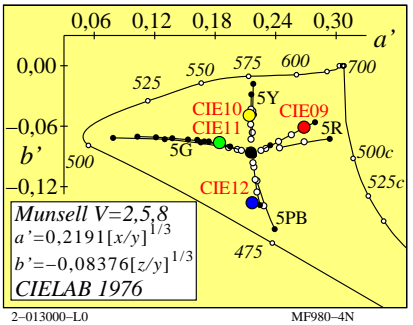
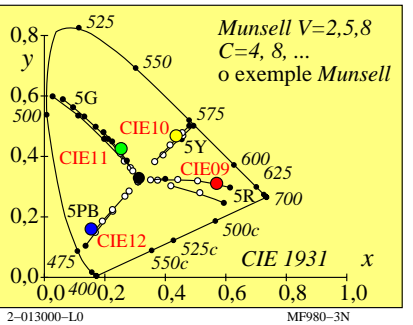
colorimétrie inférieure: (données: relation linéaire à CIE 1931)		
term linéaire des couleurs	nom et rapport aux valeurs de tristimulus ou de chromaticité	remarques
valeurs de tristimulus	X, Y, Z	
val. chromatique	diagramme valeur chromatique linéaire (A,B)	$n=D65$
rouge-vert	$A = [X/Y - X_n/Y_n] Y = [a - a_n] Y$ $= [x/y - x_n/y_n] Y$	(fond)
jaune-bleu	$B = -0,4 [Z/Y - Z_n/Y_n] Y = [b - b_n] Y$ $= -0,4 [z/y - z_n/y_n] Y$	
radial	$C_{AB} = [A^2 + B^2]^{1/2}$	
chromaticité	diagramme chromaticité linéair (a, b)	comparer stimulation des cônes linéaires
rouge-vert	$a = X/Y = x/y$	
jaune-bleu	$b = -0,4 [Z/Y] = -0,4 [z/y]$	
radial	$c_{ab} = [(a - a_n)^2 + (b - b_n)^2]^{1/2}$	$L/(L+M) = P/(P+D)$ $S/(L+M) = T/(P+D)$

colorimétrie supérieure (données: relation non linéaire à CIE 1931)		
terme non linéaire	nom et rapport aux valeurs de tristimulus ou de chromaticité	remarque
clarté	$L^* = 116 (Y/100)^{1/3} - 16 (Y > 0,8)$ approximation: $L^* = 100 (Y/100)^{1/2,4} (Y > 0)$	CIELAB 1976
chroma	transformation non linéaire des valeurs A, B	
rouge-vert	$a^* = 500 [(X/X_n)^{1/3} - (Y/Y_n)^{1/3}]$ $= 500 (a' - a'_n) Y^{1/3}$	CIELAB 1976
jaune-bleu	$b^* = 200 [(Y/Y_n)^{1/3} - (Z/Z_n)^{1/3}]$ $= 500 (b' - b'_n) Y^{1/3}$	CIELAB 1976
radial	$C^*_{ab} = [a^{*2} + b^{*2}]^{1/2}$	$n=D65$ (fond)
chromaticité	transformation non linéaire x/y, z/y	comparer log stimulation des cônes
rouge-vert	$a' = (1/X_n)^{1/3} (x/y)^{1/3}$ $= 0,2191 (x/y)^{1/3}$ pour D65	$\log[L / (L+M)]$
jaune-bleu	$b' = -0,4 (1/Z_n)^{1/3} (z/y)^{1/3}$ $= -0,08376 (z/y)^{1/3}$ pour D65	$= \log[P / (P+D)]$
radial	$c'_{ab} = [(a' - a'_n)^2 + (b' - b'_n)^2]^{1/2}$	$\log[S / (L+M)]$ $= \log[T / (P+D)]$

voir fichiers similaires: http://farbe.li.tu-berlin.de/MF98/MF98.HTM
 http://130.149.60.45/~farbmertik ou http://farbe.li.tu-berlin.de

TUB enregistrement: 20190801-MF98/MF98LONA.TXT /.PS
 application pour la mesure de sortie sur écran
 TUB matériel: code=rh4ta

attributs de la colorimétrie inférieur et supérieur	mode de mélange de couleurs	
	dichromatique	trichromatique
colorimétrie inférieure	(pour $Y_- \geq B_-$)	(pur $R_- \geq G_- \geq B_-$)
valeur blanche W	B_-	B_-
valeur noire N	$100 - Y_-$	$100 - R_-$
valeur chromatique C	$Y_- - B_-$	$R_- - B_-$
colorimétrie supérieure	(pour $Y^*_- \geq B^*_-$)	(pour $R^*_- \geq G^*_- \geq B^*_-$)
blancheur W^*	B^*_-	B^*_-
noirceur N^*	$100 - Y^*_-$	$100 - R^*_-$
chroma C^*	$Y^*_- - B^*_-$	$R^*_- - B^*_-$



indice de fidélité de couleur R_i de deux couleur métamères pour scanner		
laser	TC indice de fidélité	différence de couleur
large bande	1	82
	2	84
laser	1	63
	2	69
idéal	1	100
	2	100

D65, adjustment pour papier blanc

colorimétrie inférieure: (données: relation linéaire à CIE 1931)		
term linéaire des couleurs	nom et rapport aux valeurs de tristimulus ou de chromaticité	remarques
valeurs de tristimulus	X, Y, Z	
val. chromatique	diagramme valeur chromatique linéaire (A,B)	n=D65
rouge-vert	$A = [X/Y - X_n/Y_n] Y = [a - a_n] Y$ $= [x/y - x_n/y_n] Y$	(fond)
jaune-bleu	$B = -0,4 [Z/Y - Z_n/Y_n] Y = [b - b_n] Y$ $= -0,4 [z/y - z_n/y_n] Y$	
radial	$C_{AB} = [A^2 + B^2]^{1/2}$	
chromaticité	diagramme chromaticité linéair (a, b)	comparer stimulation des cônes linéaires
rouge-vert	$a = X/Y = x/y$	
jaune-bleu	$b = -0,4 [Z/Y] = -0,4 [z/y]$	
radial	$c_{ab} = [(a - a_n)^2 + (b - b_n)^2]^{1/2}$	$L/(L+M) = P/(P+D)$ $S/(L+M) = T/(P+D)$

colorimétrie supérieure (données: relation non linéaire à CIE 1931)		
terme non linéaire	nom et rapport aux valeurs de tristimulus ou de chromaticité	remarque
clarté	$L^* = 116 (Y/100)^{1/3} - 16 (Y > 0,8)$ approximation: $L^* = 100 (Y/100)^{1/2,4} (Y > 0)$	CIELAB 1976
chroma	transformation non linéaire des valeurs A, B	
rouge-vert	$a^* = 500 [(X/X_n)^{1/3} - (Y/Y_n)^{1/3}]$ $= 500 (a' - a'_n) Y^{1/3}$	CIELAB 1976
jaune-bleu	$b^* = 200 [(Y/Y_n)^{1/3} - (Z/Z_n)^{1/3}]$ $= 500 (b' - b'_n) Y^{1/3}$	CIELAB 1976
radial	$C^*_{ab} = [a^{*2} + b^{*2}]^{1/2}$	n=D65 (fond)
chromaticité	transformation non linéaire x/y, z/y	comparer log stimulation des cônes
rouge-vert	$a' = (1/X_n)^{1/3} (x/y)^{1/3}$ $= 0,2191 (x/y)^{1/3}$ pour D65	$\log[L/(L+M)]$
jaune-bleu	$b' = -0,4 (1/Z_n)^{1/3} (z/y)^{1/3}$ $= -0,08376 (z/y)^{1/3}$ pour D65	$= \log[P/(P+D)]$
radial	$c'_{ab} = [(a' - a'_n)^2 + (b' - b'_n)^2]^{1/2}$	$\log[S/(L+M)]$ $= \log[T/(P+D)]$

